

Redescripción de *Acanthaegilips* Ashmead, 1897 y descripción de dos nuevas especies (FIGITIDAE: ANACHARITINAE)

J. Pujade-Villar¹, C. X. Restrepo-Ortiz¹, J.L. García² & P. Ros-Farré¹

¹Departament de Biologia Animal. Facultat de Biologia, Universitat de Barcelona, Avda. Diagonal 645, 08026. Barcelona, Spain. e-mail: jpujade@ub.edu; ²Universidad Simón Rodríguez, Núcleo Maracay, Edo. Aragua y Museo del Instituto de Zoología Agrícola Francisco Fernández Yépez (MIZA), Apdo. 4579, Maracay, Edo. Aragua, Venezuela.

ABSTRACT

Two new species of the genus *Acanthaegilips* are described. These species can be distinguished from the rest of the species of the genus by having a carinated sculpture in the mesoscutum. The genus *Acanthaegilips* is redescribed and a key to its species is given.

Key words: Hymenoptera, Figitidae, *Acanthaegilips*, *A. colombiensis* n. sp., *A. venezuelensis* n. sp., identification key.

RESUMEN

Se describen dos especies del género *Acanthaegilips* que presentan una escultura carenada en el mesoscuto lo cual las diferencia de las otras especies incluidas en dicho género. Se redescribe el género *Acanthaegilips* y se propone una clave de identificación que permite separar todas las especies de este género.

Palabras clave: Hymenoptera, Figitidae, *Acanthaegilips*, *A. colombiensis* n. sp., *A. venezuelensis* n. sp., clave de identificación.

INTRODUCCIÓN

El género *Acanthaegilips* es uno de los ocho géneros de Figitidae incluidos en la subfamilia Anacharitinae (Ronquist, 1999). Los límites de algunos de ellos están aún por dilucidar (Restrepo-Ortiz & Pujade-Villar, datos no publicados). Weld (1952) distingue dos grupos morfológicos: los anacharitininos con espina escutelar (*Acanthaegilips* y *Xyalaspis*) y los que no presentan espina escutelar (*Acothyreus*, *Aegilips*, *Anacharis*, *Calofigites*, *Proanacharis* y *Solenofigites*), después de que Ronquist desestimara los géneros *Paraegilips* y *Seitneria* (ver Ronquist, 1995 y Ros-Farré *et al.*, 2000, respectivamente) y que *Petricynips* fuese considerado como un género de afiliación incierta atendiendo a los resultados de Ros-Farré *et al.* (2003).

El género *Acanthaegilips* con 12 especies registradas de distribución Neotropical (Ros-Farré *et al.*, 2003; Pujade-Villar *et al.*, *in press*; Restrepo-Ortiz, *et al.*, *in press*), está caracterizado por presentar (Ros-Farré *et al.*, 2000): el surco malar bien definido (Figs. 2h, 3c-e), un surco mesopleural oblicuo y ancho (Figs. 4b, 4d, 4f, 5a-d), el escudo fuertemente areolado (Figs. 3a, 3h, 5e-h), una espina escutelar acabada en punta (Figs. 3a, 3f, 3h, 4a, 4c, 4e, 5e-h) y las fosetas escutelares alargadas sin margen posterior definido, separadas por la carena interfoveal (Figs. 3a, 3h, 4a, 4c, 4e, 5e-h) que a menudo llega hasta el ápice de la espina.

En este trabajo se describen dos especies que esculturalmente se apartan de todas las especies conocidas, pero que sin duda pertenecen al género *Acanthaegilips*, por lo que el número de especies de este género con distribución Neotropical asciende a catorce.

MATERIAL Y MÉTODOS

El material estudiado procede de las siguientes instituciones: Canadian National Collections of Insects (CNCI, Ottawa,

Ontario, Canadá) y Museo del Instituto de Zoología Agrícola Francisco Fernández Yépez (MIZA, Aragua, Venezuela). Parte de este material ha sido depositado en la colección J. P-V indicado como UB (Universitat de Barcelona, Barcelona, España; Dr. J. Pujade-Villar).

Las imágenes han sido realizadas en “els Serveis Científic-Tècnics de la Universitat de Barcelona” con el microscopio electrónico de barrido Stereoscan S-360 (Cambridge Instruments); éstas fueron obtenidas a bajo voltaje (700 V) y sin ningún tipo de recubrimiento con el objetivo de preservar el material tipo.

Las estructuras morfológicas se nombran según Richards (1977), Ronquist & Nordlander (1989), Ros Farré *et al.*, (2000; 2003) y Ros-Farré & Pujade-Villar (2007) y la terminología de la escultura según Harris (1979). Las medidas y abreviaciones incluidas en este estudio incluyen: F1-F12, primer y subsiguientes flagelómeros (la longitud de cada flagelómero está indicada y la anchura al lado entre paréntesis).

Acantaegylops es más diverso de lo que se conocía hasta el momento; la descripción por primera vez de especies carenadas, las que se describen en este trabajo, obliga que *Acantaegylops* sea redescrito.

RESULTADOS

REDESCRIPCIÓN DE *Acanthaegilips*

Coloración. Predominantemente oscura. Cabeza enteramente negra. Antenas amarillo oscuro, a veces basalmente negras. Mesosoma y metasoma de color variable desde castaño o castaño-rojizo a negro. Patas amarillo brillante, castaño o castaño oscuro.

Cabeza. Lisa, casi glabra, de forma triangular en visión frontal; mandíbulas pequeñas y superpuestas. En vista dorsal, cabeza claramente más ancha que el mesosoma. Gena no

hinchada. Carena occipital ausente o extendiéndose a lo largo de los márgenes laterales de la cabeza, pero siempre ausente dorsalmente. Ojos compuestos sobresalientes lateralmente. Parte inferior de la cara (entre los toruli y el clipeo) claramente convexa y parte superior casi plana. Área malar larga 0,5-0,9 veces la altura del ojo compuesto; surco malar estrecho, generalmente visible y profundo, ligera o fuertemente curvado, extendiéndose desde el margen ventral del ojo hasta la parte media basal de la mandíbula. Clipeo proyectado ventralmente. Surco epistomal y línea clipeo-pleurostomal generalmente poco diferenciados, clipeo delimitado por un cambio de curvatura. Línea transfacial entre 2 y 3 veces el ancho del ojo compuesto y 1,50 a 1,17 veces su altura. Toruli grandes, separados entre sí por una distancia de 0,7 a 2,0 veces la distancia entre el foramen y el ojo compuesto. Borde de la foseta antenal muy estrecho. Ocelos subiguales en tamaño; OOL, alrededor de 2,0 a 2,6 veces el diámetro máximo del ocelo lateral; POL / OOL: 0,70 a 1,14; OOL / LOL: 2,75 a 4,0.

Antena. HEMBRA. 13 segmentos; longitud del F1 1,25 a 1,60 veces la longitud del F2; flagelómeros cilíndricos, a veces los primeros ligeramente expandidos hacia el ápice. Escapo y pedicelo lisos, cubiertos con escasas setas, flagelómeros coriáceos y cubiertos densa o escasamente de setas cortas. Sensilas placodeas iniciándose en F1, F2 o F3. MACHO. 14 segmentos; longitud del F1 1,1 a 1,5 veces la longitud del F2; flagelómeros cilíndricos, no se expanden hacia el ápice. F1 no modificado. F2 a F4 o F3 a F5 ligeramente expandidos dorsolateralmente mediante una cresta longitudinal. Escapo y pedicelo lisos, flagelómeros coriáceos y densamente cubiertos de setas cortas. Sensilas placodeas iniciándose en F1.

Mesosoma. Pronoto ancho medialmente, 0,22 a 0,50 veces el ancho lateral. Placa pronotal circular, glabra, bien diferenciada, a veces proyectada en un diente dorsal; depresiones submediales de tamaño muy variable. Pronoto areolado, con setosidad blanca, escasa. Mesoescudo convexo en vista lateral, 1,1 a 1,7 veces más ancho que largo en vista dorsal. Mesoescudo areolado o transversalmente carenado; impresión mesoscutal media diferenciada, de longitud variable; notaulos claramente impresos, generalmente incompletos; pubescencia escasa, compuesta por setas largas y blancas, a veces con una línea visible de setas en el margen anterolateral del escudo. Mesopleura lisa y glabra, provista de un surco oblicuo profundo a veces subdividido por carenas formando celdas grandes. Triángulo mesopleural claramente impreso, pubescente. Escutelo grande y claramente se proyecta sobre metanoto posterior; en visión dorsal 1,0 a 1,4 veces la longitud del escudo, posteriormente terminado en una espina acabada en punta de longitud variable. Fosetas escutelares grandes y poco profundas, glabras, separadas por una carena media de longitud variable, sin margen posterior definido. Escutelo desde areolado a rugoso, provisto de setas largas y blancas esparcidas. Metaescutelo estrecho medialmente, con dos grandes depresiones submediales. Propodeo areolado, densamente cubierto por setas antero lateral y dorso lateralmente, escasamente setoso dorsal y posteriormente, estrechándose posteriormente formando un tubo al final del

cual se inserta el metasoma. Caliptra diferenciada.

Patás. Metatibia provista de una carena longitudinal en la superficie posterior y con espinas relativamente cortas; la interna algo más larga que el ancho de la tibia.

ALAS. Membrana hialina, pubescente. Celda radial abierta o cerrada en ambos sexos; 2,7 a 3,4 veces más larga que ancha; vena 2r curva a no curva; vena R1 visible y corta, llegando a veces hasta el margen del ala; areola y vena R+ M ausentes; pubescencia marginal del ala a partir de la vena R1 y visible hasta el borde posterior alar.

Metasoma. Peciolo 2 a 3 veces más largo que ancho, a veces carenado longitudinalmente; cuerpo del peciolo originado a partir de la parte lateral y ventral (no de la parte dorsal) del bulbo articular anterior. Tercer segmento abdominal glabro, margen posterolateral ligeramente cóncavo; dorsalmente casi un tercio de la longitud del cuarto tergo, el cual abarca el resto del metasoma.

DESCRIPCIÓN DE DOS NUEVAS ESPECIES

Acanthaegilips colombiensis Pujade-Villar & Restrepo-Ortiz n. sp.

(Figs. 1a, 2a-c, 2e)

Diagnosis: Esta especie se diferencia de todas las otras conocidas (Ros-Farré *et al.*, 2003) por la escultura del escudo, pues éste no es areolado sino que tiene estrias transversales. Especie cercana a *A. venezuelensis* n. sp., de la cual se diferencia porque el surco malar está bruscamente curvado, presenta una única celda media en el margen posterior del escudo entre los notaulos, la carena interfoveal es incompleta y la espina escutelar está parcialmente esculturada en la parte distal.

Material tipo: 3♂♂. HOLOTIPO (depositado en el CNCI): C-24, Colombia, Caldas, 5°15'N 76°25'W, 3300-3400 msnm, 3-IV-1973: 1♂, Elfin forest, J. Helava leg. PARATIPOS (2♂♂) con las mismas etiquetas que el holotipo (depositados en el CNCI y la UB).

Descripción. Longitud: macho: 3,1 mm; hembra desconocida.

Coloración: Cabeza, mesosoma y metasoma negros. Mandíbulas rojizas. Antena completamente negra. Patas completamente rojizas excepto por mitad posterior del fémur que es amarillo. Venas de las alas amarillentas.

Cabeza: Lisa, brillante, margen posterior de la gena con una línea de setas, cara con escasas setas esparcidas. Surco malar fuertemente curvado; carena occipital poco desarrollada. Zona clipeal no marcada. Ocelos muy juntos y prácticamente dispuestos en línea.

Antena: Muy pilosa. F1 y F2 cilíndricos, no ensanchados hacia el ápice, F2-F4 modificados, abultados anteriormente, F7-F12 cilíndricos, sensilas placodeales a partir del F4, abundantes a partir de F6. Fórmula antenal: 6(3): 2(2): 8(2): 5,5(2): 5(2): 5(2): 4(2): 5(3): 5(3): 4(3): 3(3): 6(3).

Mesosoma: Carena pronotal redondeada, no proyectada dorsalmente. Placa pronotal con abundantes setas y superficie esculturada. Mesoescudo en visión lateral 1,2 veces más largo que ancho; en visión dorsal 1,45 veces más ancho que

largo. Notaulos incompletos. Escudo no areolado, con estrías transversales continuas y una única celda media en el margen posterior del escudo entre los notaulos. Escutelo en visión dorsal 1,7 veces la longitud del mesoescudo. Carena media del escutelo incompleta, de manera que las fosetas no están completamente definidas. Fosetas lisas, con una carena interior lateral débil que divide cada foseta en dos áreas. Orificios foveales laterales redondeados, 1,2 veces más largos que anchos. Distancia entre la carena media y el margen interno del orificio foveal de 3,5 veces la anchura del orificio. Espina escutelar ancha estrechándose gradualmente hacia el ápice, en vista lateral la espina es recta. Surco mesopleural amplio y curvado en el ápice. Escultura del propodeo alveolada, sin carenas media y lateral definidas.

Alas: Celda radial cerrada, 2,3 veces más larga que ancha. Pilosidad marginal se inicia en el 2/3 apical del ala.

Metasoma: Peciolo más largo que ancho (casi tan largo como la metacoja) y liso. Tercer segmento abdominal 0,65 veces la longitud del cuarto segmento en visión dorsal.

Biología: desconocida.

Distribución: Colombia.

Acanthaegilips venezuelensis Ros-Farré & García n. sp.

(Figs. 1b, 2d, 2f-h)

Diagnosis: Esta especie se diferencia de todas las otras conocidas (Ros-Farré *et al.*, 2003) por la escultura del escudo, pues éste no es areolado sino que tiene estrías transversales. Especie cercana a *A. colombiensis*, de la cual se diferencia porque el surco malar es curvado (pero no bruscamente), presenta dos celdas medias en el margen posterior del escudo entre los notaulos, la carena interfoveal es completa y la espina escutelar no está esculturada en la parte distal.

Material tipo: 1♀. HOLOTIPO (depositado en MIZA), Santo Domingo, Mérida, Venezuela, 30.07.1966, J. & B. Bechyne.

Descripción. Longitud: 2,5 mm; macho desconocido.

Coloración: Cabeza, mesosoma y metasoma negros. Mandíbulas rojizas y dientes oscuros. Escapo, pedicelo y F1-F3 oscuros, F4-F6 rojizos y F7-F11 naranja. Patas completamente rojizas. Venas de las alas amarillentas.

Cabeza: Lisa, brillante, margen posterior de la gena con una línea de setas, cara con escasas setas esparcidas. Surco malar débilmente curvado; carena occipital poco desarrollada. Zona clipeal no marcada. Ocelos muy juntos y prácticamente dispuestos en línea.

Antena: Flagelómeros cilíndricos, no ensanchados hacia el ápice, sensilas placodeales abundantes a partir de F3. Fórmula antenal: 5(3): 2(2): 8(2): 5(2): 5(2): 4(2): 3(3): 3(3): 4(3): 3(3): 6(3).

Mesosoma: Carena pronotal redondeada, débilmente proyectada dorsalmente. Placa pronotal con abundantes setas y superficie esculturada. Mesoescudo en visión lateral 0,95 veces más largo que ancho. En visión dorsal 0,85 veces más ancho que largo. Notaulos incompletos. Escudo no areolado, con estrías transversales y dos celdas medias en el margen posterior del escudo entre los notaulos. Escutelo en visión dorsal 1,35 veces la longitud del mesoescudo. Carena media

del escutelo completa, fosetas escutelares completamente definidas, lisas anteriormente, con escultura cerca al margen posterior. Orificios foveales laterales redondeados, 1,3 veces más largos que anchos. Distancia entre la carena media y el margen interno del orificio foveal es de 3 veces la anchura del orificio. Espina escutelar amplia, estrechándose gradualmente hacia el ápice, en vista lateral recta. Sulco mesopleural amplio con carenas transversales. Triángulo mesopleural densamente cubierto por setas. Propodeo con escultura areolada y piloso anterior y lateralmente.

Alas: Celda radial cerrada, 2,45 veces más larga que ancha. Pilosidad marginal se inicia en el 1/3 apical del ala.

Metasoma: Peciolo más largo que ancho (casi tan largo como la metacoja), con algunas estrías longitudinales en los laterales. Tercer segmento abdominal 0,60 veces la longitud del cuarto segmento en visión dorsal.

Biología: desconocida.

Distribución: Venezuela.

DISCUSIÓN

Acanthaegilips y *Xyalaspis* son los únicos anacharítinos que presentan una verdadera espina escutelar aunque este carácter posiblemente haya de ser desestimado en los Figitidae para diferenciar géneros (Pujade-Villar & Paretas-Martínez, *in prep.*), sobre todo teniendo en cuenta la aparición de especies como *Neralsia pseudoneralsia* Jiménez & Pujade-Villar, 2006, *Xyalophoroides quinquelineata* (Say, 1836) y diversas morfologías del género *Figites* (Jiménez *et al.*, 2006; 2008).

Entre otros caracteres, la escultura areolada del escudo definía *Acanthaegilips*; las especies que se describen en este trabajo presentan una escultura carenada, por lo que los caracteres que han de ser utilizados para distinguir *Acanthaegilips* son los siguientes: presencia de un surco malar bien definido, un surco oblicuo en la mesopleura, una espina escutelar acabada en punta y presencia de las fosetas escutelares alargadas sin margen posterior definido, separadas por la carena interfoveal que a menudo llega hasta el ápice de la espina. En las especies conocidas hasta el momento (Ros-Farré *et al.*, 2003) los notaulos estaban configurados por una serie de areolas consecutivas (Figs. 3a, 3h, 5e-h); las especies *A. colombiensis* (Fig. 1a) y *A. venezuelensis* (Fig. 1b) son las primeras que presentan notaulos perfectamente configurados en *Acanthaegilips*.

Recientemente (Pujade-Villar *et al.*, *in press*; Restrepo-Ortiz, *et al.*, *in press*), han sido descritos los machos de *A. dentis* y *A. laevis*, y la hembra de *A. diazi*, desconocidos en la revisión de Ros-Farré *et al.* (2003). Éstos hechos, junto con la descripción de dos especies nuevas en este trabajo hace que se considere oportuno modificar la clave de especies presentada en Ros-Farré *et al.* (2003) para incluir todas estos descubrimientos. De esta forma las catorce especies de *Acanthaegilips* pueden diferenciarse atendiendo a los siguientes caracteres:

CLAVE PARA LAS ESPECIES DE *Acanthaegilips*

1- Escudo carenado transversalmente (Fig. 1), nunca

- areolado..... 2
- Escudo areolado (Figs. 3a, 3h, 5e-h) sin carenas transversales..... 3
- 2- Surco malar bruscamente curvado (Fig. 2a). Margen posterior del escudo, entre los notaulos, con una única celda media (Fig. 1a). Carena interfoveal incompleta. Espina escutelar parcialmente esculpura en la parte distal (Fig. 1a). (Sólo el macho es conocido). *A. colombiensis* n. sp.
- Surco malar curvado pero no bruscamente (Fig. 2h). Margen posterior del escudo, entre los notaulos, con dos celdas medias (Fig. 1b). Carena interfoveal completa y espina escutelar no esculpura en la parte distal (Fig. 1b). (Sólo la hembra es conocida) *A. venezuelensis* n. sp.
- 3- Escutelo cóncavo en visión dorsal, en forma de tejado, fuertemente inclinado a cada lado de la carena media escutelar. Flagelómeros del macho nunca modificados. Propodeo con tres carenas longitudinales y sin esculpura entre ellas (Fig. 3b). Notaulos presentes pero no están formados por una línea de celdas de esculpura areolada (Fig. 3a). (Sólo el macho es conocido). *A. alienus* Ros-Farré & Pujade-Villar, 2003
- Escutelo plano en visión dorsal o solo ligeramente inclinado a cada lado de la carena media escutelar, nunca en forma de tejado. Antena del macho con algunos flagelómeros de F1 al F6 ligeramente expandidos dorsolateralmente con una cresta longitudinal. Propodo areolado; si hay carenas longitudinales, hay esculpura areolada entre éstas. Notaulos formados más o menos por una línea de celdas de la esculpura areolada. 4
- 4- Celda radial abierta, vena marginal siempre ausente; a veces en el margen hay una conspicua línea de setas que aparenta ser como una vena, por lo que la celda parece que esté cerrada 5
- Celda radial cerrada, vena marginal presente y completa 11
- 5- Surco malar fuertemente curvado (Fig. 3d). Surco postocular presente (Figs. 3c, d); si está débilmente impreso entonces hay una línea de setas (Fig. 3c). Espina escutelar estrechándose abruptamente antes del ápice (Fig. 3a, 3h, 4a, 4e) o extremo del disco escutelar estrechándose precipitadamente y la espina escutelar es delgada hasta el final (Fig. 4c). 6
- Surco malar ligeramente curvado (Fig. 3e). Surco postocular ausente y sin setas. Espina escutelar nunca estrechándose abruptamente, ni es delgada en todo su recorrido (Figs. 5e-h). 10
- 6- Foseta escutelar con una carena interna longitudinal (carena foveal) que divide cada una en dos áreas (Fig. 3h, 4a). Placa pronotal proyectada, en vista lateral, en un fuerte y fino diente dorsal (Figs. 3g, 4b). Peciolo tan ancho como largo, algunas veces ligeramente más ancho que largo. Espina escutelar estrechándose abruptamente antes del ápice (Figs. 3f, 3h, 4a) 7
- Carena foveal ausente (Fig. 4c, 4e). Placa pronotal con un pequeño diente dorsal (Fig. 4d, 4f). Peciolo 1.5 a 2.0 veces tan ancho como largo. Espina escutelar estrechándose abruptamente antes del ápice o delgada en toda su longitud (Fig. 4c, 4e). 9
- 7- Surcos malar y postocular fuertemente marcados y sin setas debajo de ellos (Fig. 3d). Carena foveal llegando al margen posterolateral de la foseta escutelar (Fig. 3h). *A. dentis* Ros Farré & Pujade-Villar, 2003
- Surco malar desdibujado, surco postocular débil pero con una línea de setas que situada debajo de ellos (Fig. 3c). Carena foveal menos evidente y no alcanza el margen posterolateral de la foseta escutelar (Figs 3f, 4a). 8
- 8- Pronoto en vista lateral con esculpura areolada (Fig. 4b). Orificio foveal lateral de la foseta escutelar presente (Fig. 4a). (Sólo la hembra es conocida). *A. occultus* Ros-Farré & Pujade-Villar, 2003
- Superficie lateral del pronoto con carenas transversales en la parte ventral y con esculpura areolada en la parte dorsal (Fig. 3g). Orificio foveal lateral de la foseta escutelar ausente en la hembra (Fig. 3f) y obstruida en el macho aunque presenta foveas profundas en su lugar. *A. carinatus* Ros-Farré & Pujade-Villar, 2003
- 9- Disco escutelar estrechándose abruptamente en la parte posterior y la espina escutelar adelgazándose en todo el recorrido (Fig. 4c); recta en visión lateral (Fig. 4d). Orificio foveal lateral de la foseta escutelar profundo (Fig. 4c). *A. huggerti* Ros-Farré & Sporrang, 2003
- Espina escutelar estrechándose abruptamente antes del ápice (Fig. 4e). Espina escutelar curvada en visión lateral (Fig. 4f). Orificio foveal lateral superficial, indistinto (Fig. 4e). (Sólo el macho es conocido). *A. exiguus* Ros-Farré & Pujade-Villar, 2003
- 10- Esculpura central del escudo formada por una carena dorsal que va desde el pronoto hasta el surco medio (Fig. 5h), más evidente cuando se ve de perfil (Fig. 5a). Escudo de perfil con una distinta joroba. Placa pronotal, en visión lateral, con un diente dorsal puntiagudo (Fig. 5a). *A. brasiliensis* Ashmead, 1867
- Esculpura superior del escudo, vista de perfil, no formando una carena. Escudo de perfil curvado, no jorobado (Fig. 5b). Placa pronotal, en visión lateral, proyectado dorsalmente pero no en un diente (Fig. 5b). *A. levis* Ros-Farré & Pujade-Villar, 2003
- 11- Placa pronotal provista de un pequeño diente dorsal (Fig. 5c). Peciolo lateralmente costulado (solo hembra conocida). *A. masneri* Ros-Farré & Sporrang, 2003
- Placa pronotal redondeada dorsalmente (Figs 5d). Peciolo lateralmente enteramente liso o ligeramente carenado en la parte anterior 12
- 12- Foseta escutelar lisa en la parte anterior y reticulada posteriormente, más evidente en las hembras (Fig. 5e). Sensilias placodeas del macho presentes y abundantes a partir de F1 hasta el final de la antena..... *A. macropennis* Ros-Farré & Sporrang, 2003
- Foseta escutelar lisa (Figs 5f, 5g). Sensilias placodeas del macho ausentes dorsalmente en F1 y escasas o ausentes dorsalmente en algunos de los siguientes flagelómeros 13
- 13- Notaulos completos. Mesoescudo con una débil esculpura areolada; prácticamente sin esculpura entre los notaulos y los surcos parascutales. Líneas laterales fuertemente

elevadas y conspicuas (Fig. 5f). Sensilias placodeas del macho presentes en F1 pero dorsalmente ausentes desde F1 a F5 y dorsalmente esparcidas desde F6 a F7. *A. diazi* Ros-Farré & Pujade-Villar, 2003

- Notaulos incompletos llegando a la mitad de la longitud del mesoescudo. Mesoescudo fuertemente areolado. Líneas laterales conspicuas pero no elevadas (Fig. 5g). Sensilias placodeas del macho ausentes dorsalmente en F1 y F2, en F3 y algunas veces también en F4 son escasas. *A. ashmeadi* Ros Farré & Pujade-Villar, 2003

LITERATURA CITADA

- Harris, R. 1979. A glossary of surface sculpturing. State of California, Department of Food and Agriculture, *Occasional Papers in Entomology* 28: 1-31.
- Jimenez, M., N. B. Díaz, F. Gallardo, P. Ros-Farré & J. Pujade-Villar. 2006. Descripción de nueve especies sudamericanas del género *Neralsia* Cameron, con carena escutelar baja (Hymenoptera: Cynipoidea: Figitidae). *Neotropical Entomology*, 35(1): 59-69.
- Jimenez M., J. Paretas-Martinez & J. Pujade-Villar. 2008. Revision of *Xyalophora* Kieffer and description of *Xyalophoroides* gen. n. (Hymenoptera: Figitidae: Figitinae). *European Journal of Entomology*, 105: 751-769.
- Pujade-Villar, J., C. X. Restrepo-Ortiz, P. Ros-Farré & J. L. García. 2009. *Acanthaegilips* (Cynipoidea, Figitidae: Anacharitinae) de Venezuela. *Entomotropica*, 24(4): *in press*.
- Restrepo-Ortiz, C. X., P. Ros-Farré, N. B. Díaz, J. L. García & J. Pujade-Villar. 2009. Nuevos aportes al conocimiento del género *Acanthaegilips* (Hymenoptera: Cynipoidea: Figitidae: Anacharitinae). *Revista de la Sociedad Entomológica de Argentina*, 68 (1-2): *en prensa*

- Richards, O. W. 1977. Hymenoptera. Introduction and key to families. 2nd ed. *Handbooks for the identification of British Insects*, 6(1): 1-100.
- Ronquist, F. 1995. Phylogeny and classification of the Liopteridae, an archaic group of cynipoid wasps (Hymenoptera). *Entomological Scandinavica Supplement* 46: 1-74.
- Ronquist, F. 1999. Phylogeny, classification and evolution of the Cynipoidea. *Zoologica Scripta* 28 (1-2): 139-164.
- Ronquist, F. & G. Nordlander. 1989. Skeletal morphology of an archaic cynipoid (Hymenoptera: Ibalidae). *Entomologica Scandinavica, Supplements* 33: 1-40.
- Ros-Farré P. & J. Pujade-Villar. 2007. Plectocynipinae, a new subfamily of Figitidae and description of a new Neotropical genus of Thrasorinae (Hymenoptera: Cynipoidea). *Zootaxa* 1583: 1-13.
- Ros-Farré, P., F. Ronquist & J. Pujade-Villar. 2000. Redescripción de *Acanthaegilips* Ashmead, 1897, with characterization of the Anacharitinae and Aspiceratinae (Hymenoptera: Cynipoidea: Figitidae). *Zoological Journal of the Linnean Society*, 129: 467-488.
- Ros-Farré, P., M. Sporrang, F. Ronquist & J. Pujade-Villar. 2003. Revision of the neotropical genus *Acanthaegilips* (Hym., Cynipoidea, Figitidae). *Papeis Avulsos de Zoologia*, 43(2): 11-30.
- Weld, L. H. 1952. Cynipoidea (Hymenoptera). 1905-1950. Privately printed, Ann. Arbor. Michigan.

Recibido: 7 de septiembre de 2009

Aceptado: 4 de noviembre de 2009

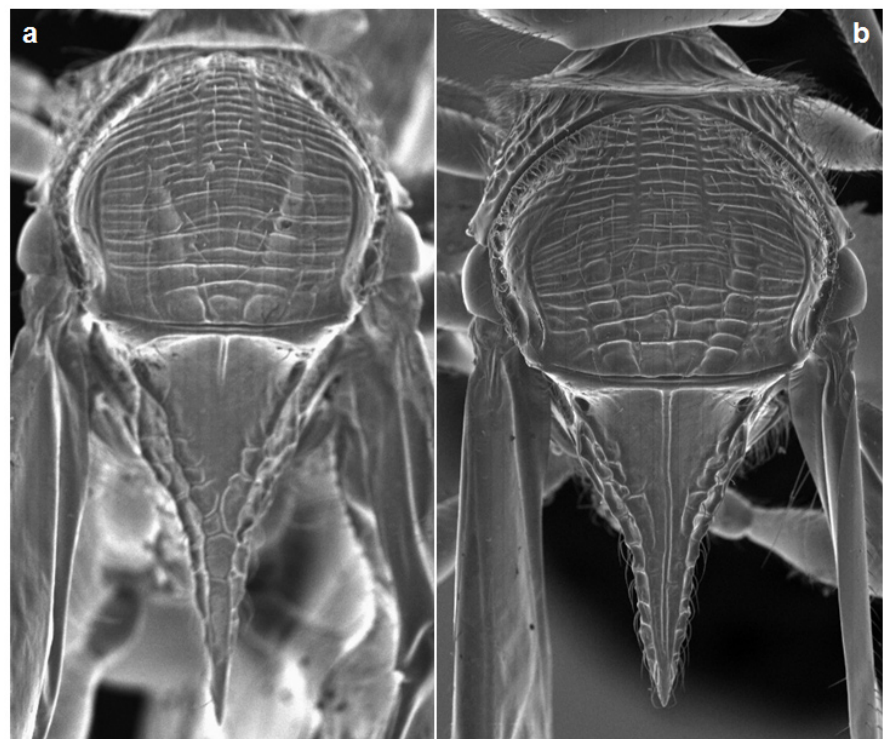


Figura. 1. Mesosoma en vista dorsal de *Acanthaegilips colombiensis* n. sp. (a) y *A. venezuelensis* n. sp. (b).



Figura. 2. Detalles morfológicos de *Acanthaegilips colombiensis* n. sp. (a, b, c, e) y de *A. venezuelensis* n. sp. (d, f, g, h). Cabeza en vista lateral (a), mesosoma en vista lateral (b), Cabeza en vista dorsal (c, d) propodeo (e, g), detalle de los primeros flagelómeros de la antena (f) cabeza y mesosoma en vista lateral (h).

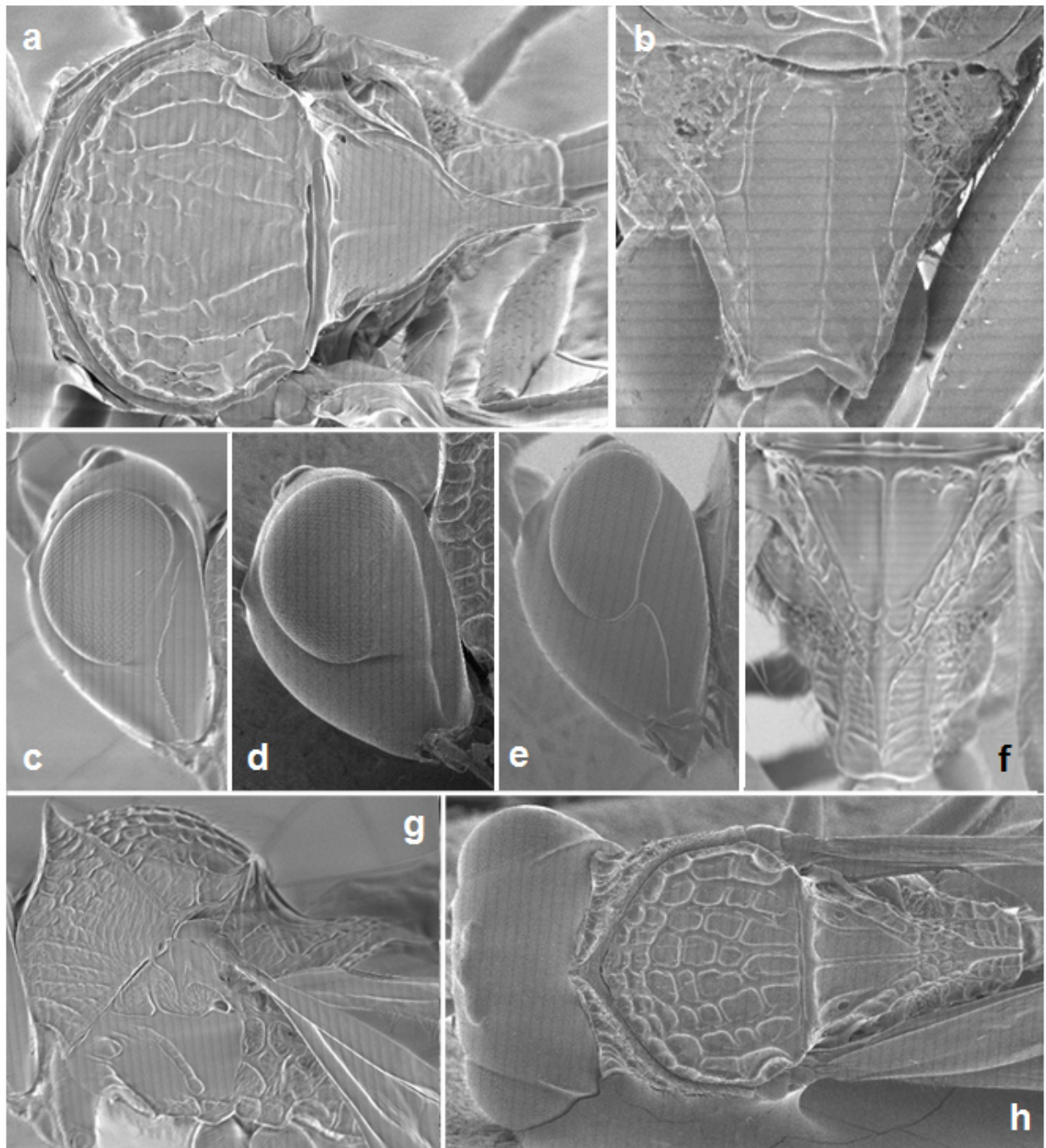


Figura 3. (a) Mesosoma en vista dorsal de *Acanthaegilips alienus*, (b) propodeo de *A. alienus*, (c) cabeza en vista lateral de *A. carinatus*, (d) idem de *A. dentis*, (e) idem de *A. levis*, (f) escutelo en vista dorsal de *A. carinatus*, (g) mesosoma en vista lateral *A. carinatus*, (h) cabeza y mesosoma en vista dorsal de *A. dentis*.

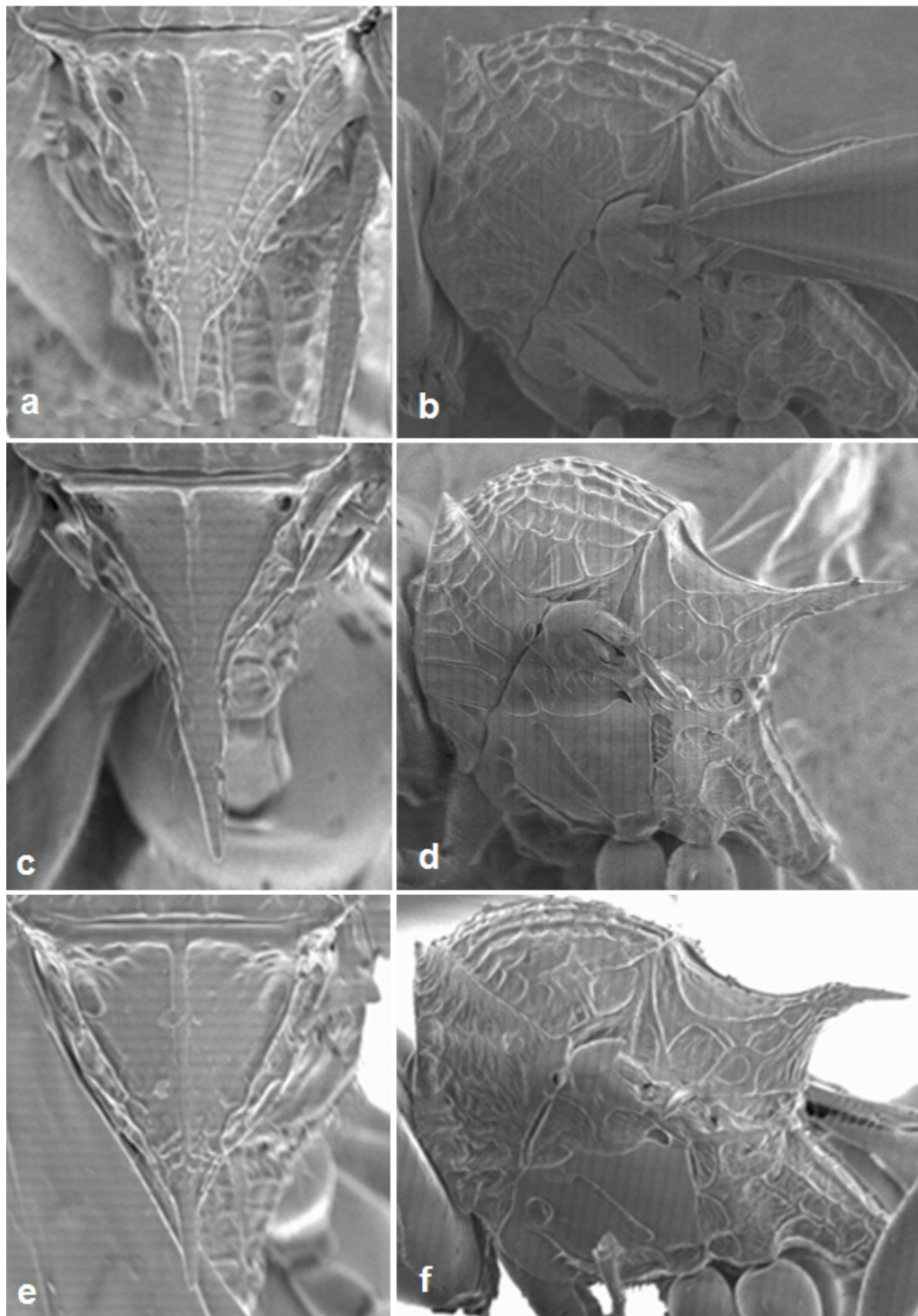


Figura. 4. Espina escutelar en vista dorsal (a, c, e) y mesosoma en vista lateral (b, d, f) de *Acanthaegilips oculus* (a, b), *A. huggerti* (c, d) y *A. exiguus* (e, f).

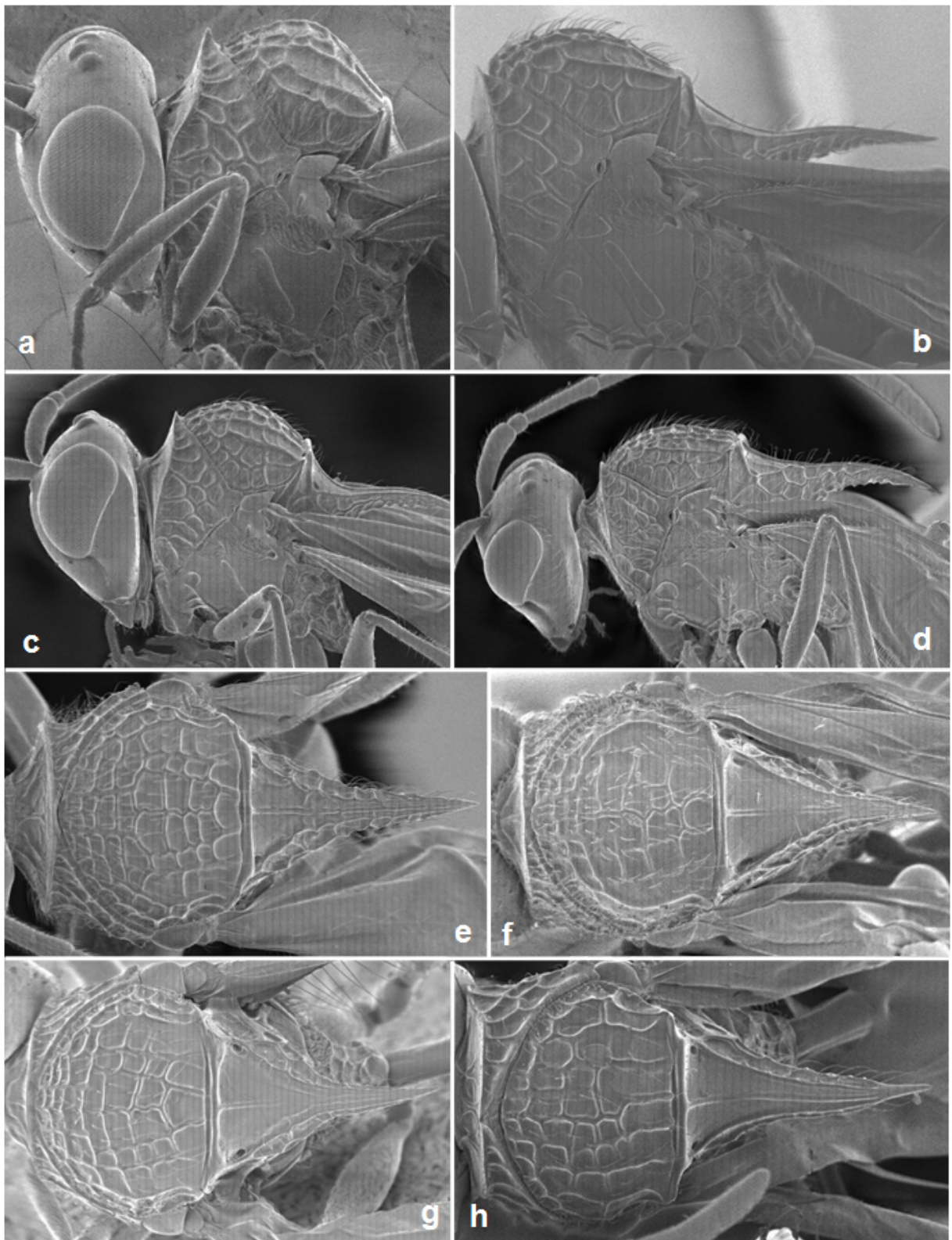


Figura. 5. Cabeza y mesosoma en vista lateral (a-d) y mesosoma en vista dorsal (e-h) de *Acanthaegilips brasiliensis* (a, h), *A. levis* (b), *A. masneri* (c), *A. macropennis* (d-e), *A. diazi* (f), *A. ashmeadi* (g).

